

Génération de nombres aléatoires et probabilités

Compte rendu

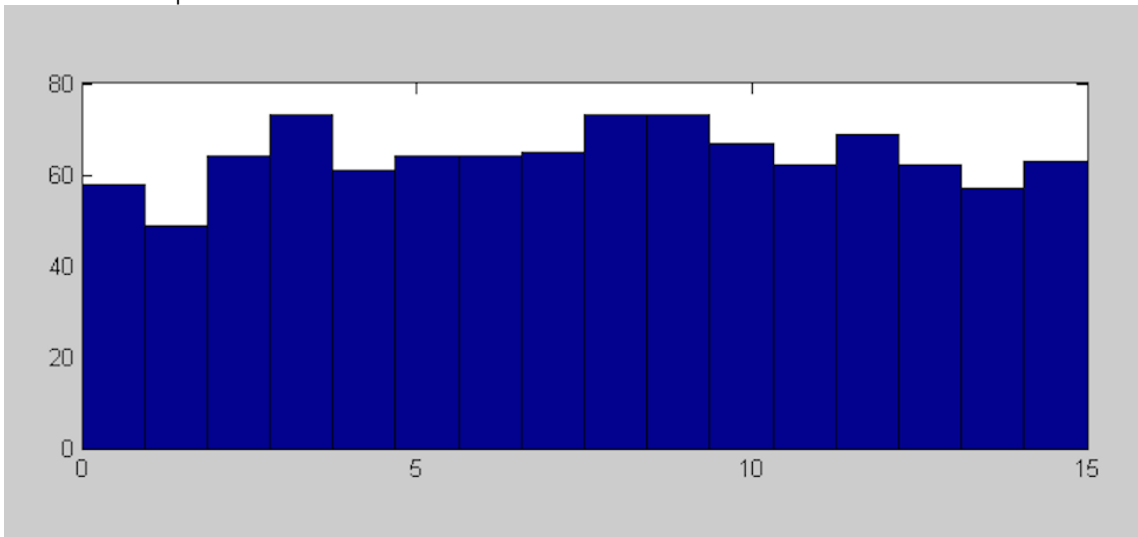
Mehdi Kitane et Amaury Courjault (B3442)

2.2.1 Test Visuel

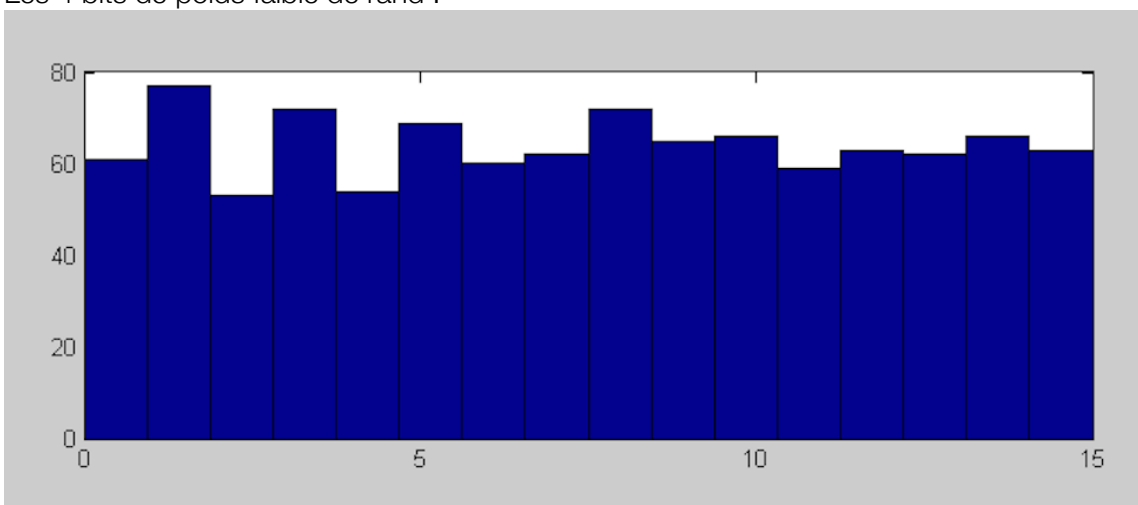
Question I

Pour une suite de $n = 1024$ valeurs, voici les sorties observées.

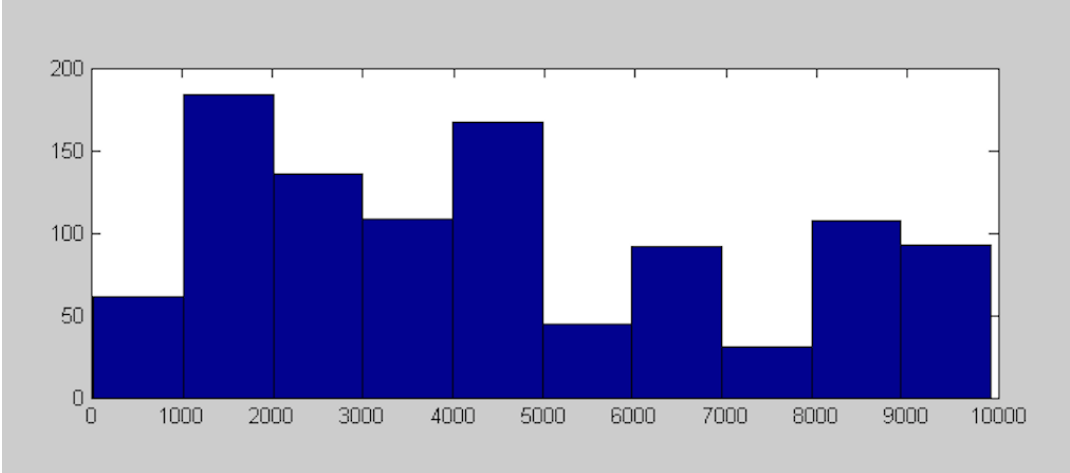
Les 4 bits de poids fort de rand :



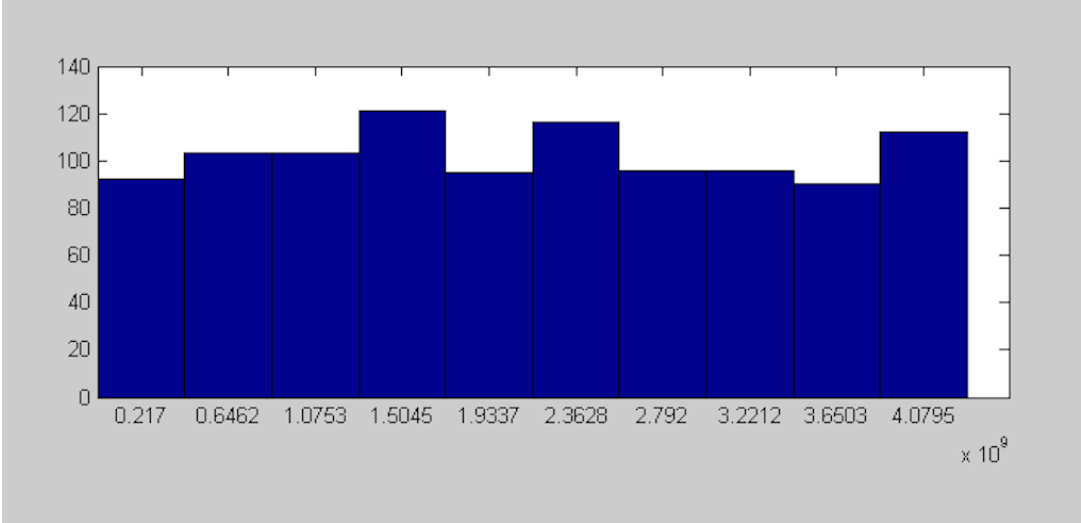
Les 4 bits de poids faible de rand :



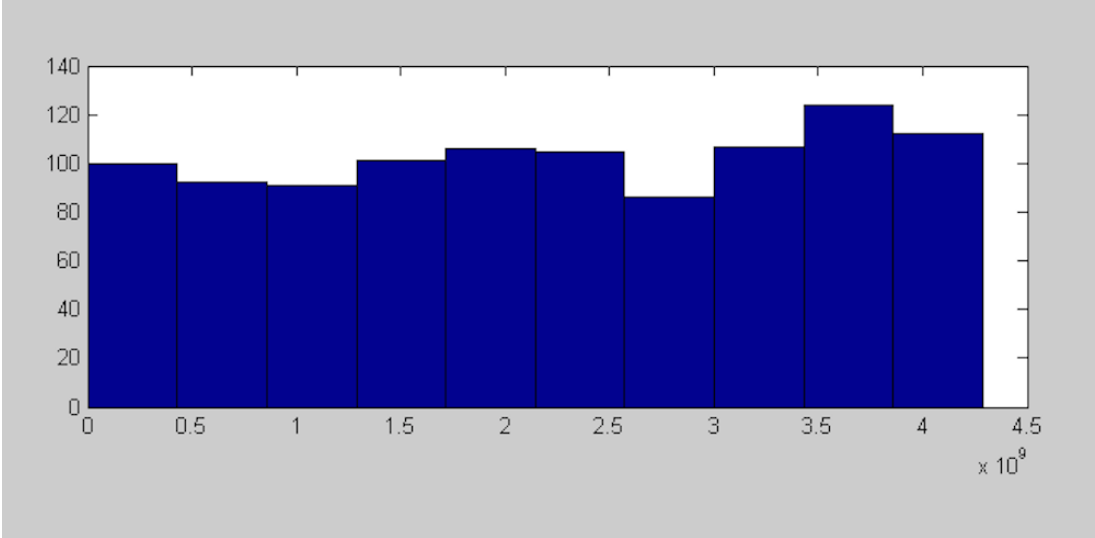
Le générateur de Von Neumann :



Le générateur Mersenne-Twister :



La transformation de l'AES en générateur pseudo-aléatoire :



On constate des fluctuations plus ou moins sur tous les graphes.
C'est normal qu'il y ait des fluctuations, mais il faut pas qu'il y'en ai trop, comme dans le Von Neumann,

AES et Mersenne sont de bons générateurs, d'après le test visuel.
Pour Mersenne-Twister, les valeurs sont autour de 100, comme prévu et sont bien réparties.
Pour Von Neumann, on a une distribution pas très uniforme, ce n'est pas un très bon générateur.

Rq : Les valeurs par défaut de hist ne sont pas adaptées a la lecture du test visuel pour le rand avec point faible et poids fort, il faut changer hist(data), par hist(data,16).

2.2.2 Test de fréquence monobits

Question 2

Rq : On a seulement $\frac{1}{6}$ de chance d'avoir le 14eme bit « rempli » avec le générateur de Von Neumann, donc il ne faut pas trop le prendre en compte dans nos résultats de Frequency, et seulement prendre en compte les bits 0 a 13.

Mersenne-Twister :	0.833728
AES :	0.642620
Von-Neumann :	0.0000
Bit Poids Fort :	0.975070
Bit Poids Faible :	0.332670

P_{valeur} est plus petite que 0,01 que pour le test de Von-Neumann, c'est donc le seul générateur qui est d'après ce test non aléatoire.

2.3 Test des runs

Question 3

Mersenne-Twister :	0.938353
AES :	0.955942
Von-Neumann :	0.00000
Bit Poids Fort :	0.826786
Bit Poids Faible :	0.491767

P_{valeur} est plus petite que 0,01 que pour le test de Von-Neumann, c'est donc le seul générateur qui est d'après ce test non aléatoire.

3 Simulation d'une loi de probabilité exponentielle

3.1 Loi uniforme sur $[0;1]$

Question 4

Voir code : Méthode :
`double Alea();`

3.2 Loi exponentielle

Question 5

Voir code : Méthode :
`double Exponentielle(double lambda);`

4 Application aux files d'attentes

4.1 Files M/M/1

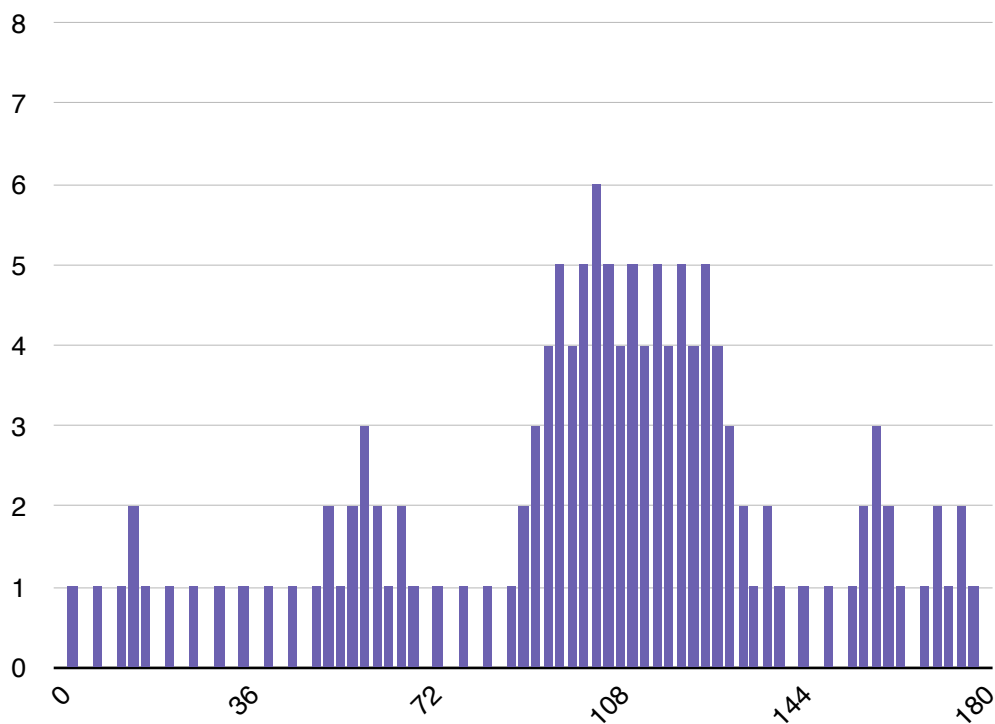
Question 6 :

Voir code : Méthode :
`file_attente FileMM1 (double lambda, double mu, double D);`

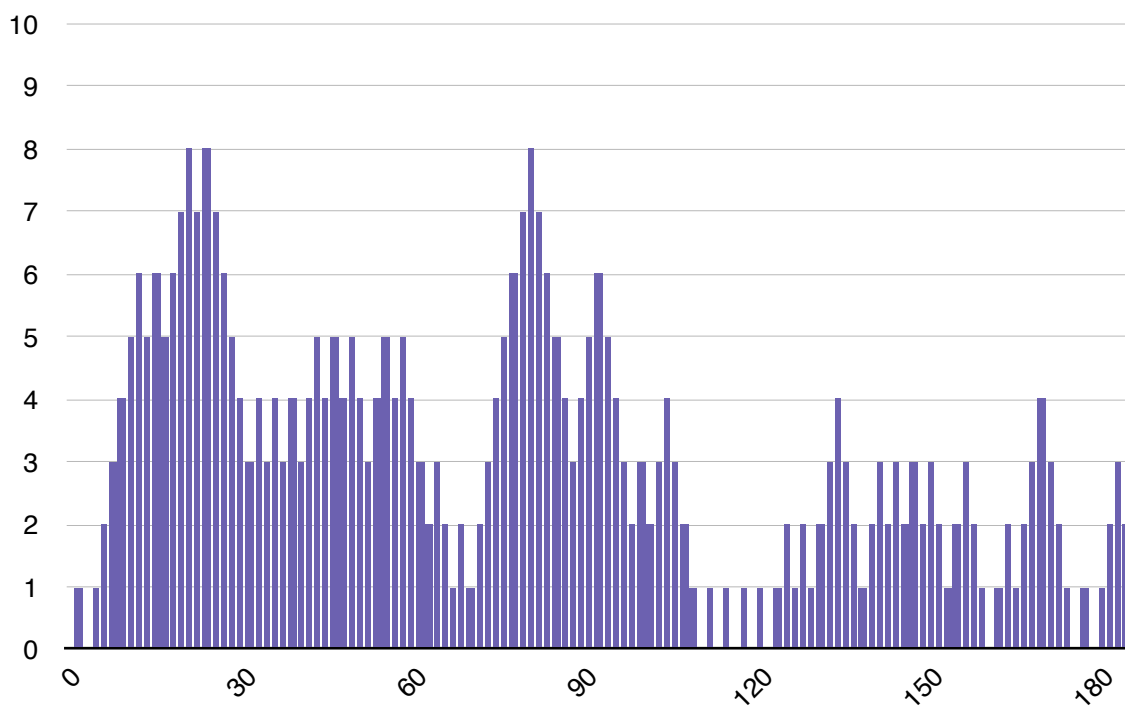
Question 7 :

Voir code : Méthode :
`evolution Calcul_evolution(file_attente a)`

Evolution du nombre de clients dans le système pour $\lambda = 0,20$
 $\mu=0,33$ pendant 3h



Evolution du nombre de clients dans le système pour $\lambda = 0,30$ $\mu=0,30$
 pendant 3h



On remarque que pour 18 arrivées par heure, (Deuxième graphique) il y'a plus de gens qui attendent et plus longtemps, ce qui est logique.

Question 8 :

Pour les valeurs, $\lambda = 0.2$ et $\mu = 0.33$
Les estimations nous donnent (Pour un lancer)
Nombre moyen de clients : 2,02
Temps de présence moyen d'un client : 9,8

Donc on retrouve bien la formule de little :
 $2,02 = 9,8 * 0.2$

On remarque que d'un lancer à un autre, nos distributions fluctuent, cependant à chaque fois ils continuent à vérifier la formule de little.

Question 9 :

Pour simuler un tel système, il suffit de remplacer μ par $2 * \mu$ quand on lance la fonction FileMM1.

Pour les valeurs, $\lambda = 0.2$ et $\mu = 0.33$
Les estimations nous donnent (Pour un lancer)
Nombre moyen de clients : 0,49
Temps de présence moyen d'un client : 2,23

Donc on retrouve bien la formule de little :
 $2,23 = 0,49 * 0.2$

On remarque que le temps d'attente diminue bien d'à peu près 2fois par rapport à la file M/M/1, ceci est bien cohérent.

Evolution du nombre de clients dans le système pour $\lambda = 0,30$
 $\mu=0,30$ pendant 3h pour 2 serveurs

